

川崎重工業(株) 正員 ○長井 正嗣
 大阪大学 正員 小松 寛夫
 川崎重工業(株) 正員 山本 晃久

1. まえがき

周知の通り、桁橋におけるダイヤフラムの設計法は十分合理的と考えらるる手法が提案されてゐる。しかしながら、斜張橋のように主桁のモーメント分布がプレストリス操作により通常の桁橋と異なる場合、既往の設計法は直接利用できない。そこで、斜張橋における直接断面変形解析を行ひ付加せり応力度を求めるレーテンを、BEFアドロジーに基づき示すこととした。その後、斜張橋でしばしば採用される3室箱桁が取り扱えるようにした。更に、設計の便を考えて、骨組構造物の変位法による解析プログラムが直接利用できるようにした。

2. 基礎理論

図-1に示す2軸材断面を考える。3室箱桁の断面変形モードを図-2に示すが、本文では逆材断面変形による断面変形を考慮することとし、図中のモード1及び3を対象とする。理論と前提条件として、逆面変形に伴うモードが他の物理量と連成しないこと、モード自体が連成しないこと、及び断面変形に伴うせん断変形を無視する条件を設けると、図-3に示すような断面変形に関する物理量がすべて決定される。これらのモードを別個に解析し、両者の結果を重ね合わせることになる。以下に各定数及び荷重を定義するが、(1), (2)は第1番目モードに関するものである。

$$I_{Dw,1} = \frac{1}{3} \cdot \alpha^2 \{ 2Bt_f + 2Ht_{wo} + 2(B_1/B)^2 Ht_{wi} \}, \quad \alpha = BH/4 \quad \cdots (1)$$

$$I_{Dw,3} = \frac{2}{3} \cdot \omega^2 H^3 t_{wo} + \frac{1}{24} B_1^2 H^3 t_{wi} + \frac{1}{24} B_1^3 H^2 t_f + H^2/(CB-B_1) \cdot t_f \left[\frac{2}{3} \cdot (B_1/4 + \omega)^2 \right. \\ \cdot \left. (B^2 + BB_1 + B_1^2) - 2(B_1/4 + \omega)(B_1/4 + \omega)(B+B_1)B_1 + 2(B_1/4 + \omega)^2 B_1^2 \right],$$

$$\omega = \frac{1}{2} \cdot \left\{ B_1^2 Ht_{wi} + \frac{1}{2} BB_1(B+B_1)t_f \right\} / \left\{ 2BHt_{wo} \cdot (B_1^2 + BB_1 - 2B^2)t_f \right\} \quad \cdots (2)$$

$$P_{v,i} = \oint_s P \psi_i ds \quad \cdots (3)$$

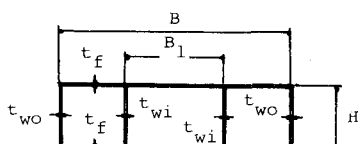


図-1 2軸材断面

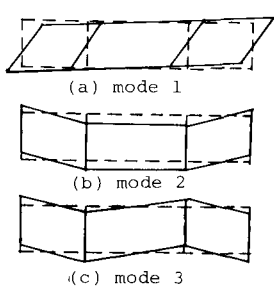


図-2 断面変形モード

次に、ダイヤフラム及び合板バネのばね定数につれては、モード1については文献1)の値をそのまま利用すればよい。モード3に対しては、板形式のダイヤフラム(板厚 t_d)について以下の通り定義される。

$$K_o = Gt_d \{ H(4\omega + B_1)^2 \} / (D \cdot B_1) \quad : \text{外室} \quad \cdots (4)$$

$$K_i = G \cdot B_1 H t_d \quad : \text{内室} \quad \cdots (5)$$

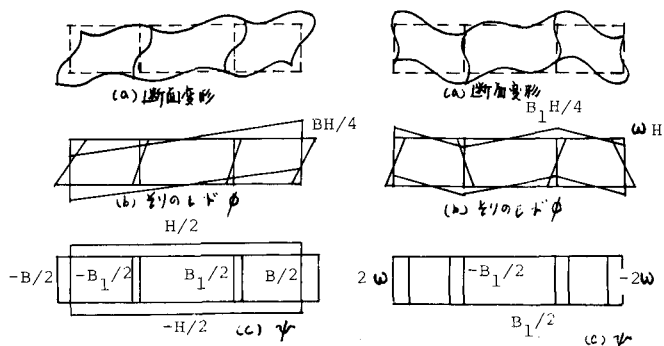


図3(a)モード1の断面変形に伴う物理量

図3(b)モード3の断面変形に伴う物理量

3. 斜張橋モデル

八形状塔のねじり剛性を評価するために図-4に示すモデルを考える。骨組構造解析プログラムを利用して計算する上では、BEFアナロジーモデルで考慮する断面変形率に \tilde{B} (長さの単位) を乗じた変数 (\tilde{A}_b) を用いる。 \tilde{B} は、モード1に対して $B/2$ 、モード3に対して $2W$ となる。これは、それらの断面変形モードに対して、ケーブル取り付け位置ごとのためみを未知数とすることに対応する。骨組解析における主桁の諸元は以下の通りである。

主桁: 断面積 $A = \infty$, ねじり定数 $I_x = \infty$, 面2次モーメント

$$I_y = I_{DW} / (2\tilde{B}^2), I_z = \infty; \text{ダイヤフラム刚度: } K_D = K / (2\tilde{B}^2); \text{分布荷重: } p = P_D / (2\tilde{B})$$

次に、断面変形に伴うせり応力度を定義すると以下の通りである。

$$\sigma_{DW} = 2M_y / I_{DW} \cdot (\phi \tilde{B}) \quad \cdots (6)$$

ここで、 M_y は図-4のモデルで得られる y 軸まわりのモーメントである。

4. 数値計算例

図-5に示す、支間9.8m, タイアラム間隔1.4mの3室箱桁の解析結果を図-6に示す。図中、実線がBEFアナロジーモデルを骨組解析した結果、破線がFEMによる結果を意味する。両者で最大30%程度の差異があるが、分布形状は比較的良好い一致を示していた。斜張橋の解析例についには、紙面の都合上、満載当日発表させていたしません。

5.まとめ

多室箱桁を有する斜張橋の断面変形解析手法を示したが、骨組解析用のプログラムをそのまま利用できることから、主桁の諸元以外はすべて実橋の諸元を利用できることから、設計上簡単に利用できることを考える。

文献1) 小松・長井: 中間ダイアラムの新しい設計法に関する研究、工木学会論文報告集、第326号、1982年10月

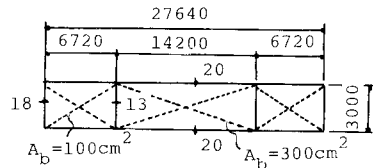


図-5 計算モデル

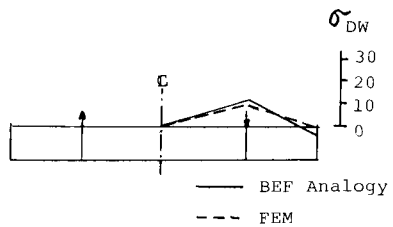
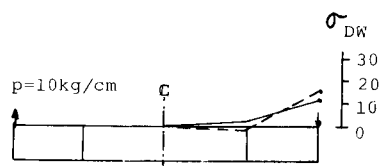
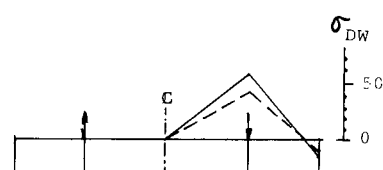
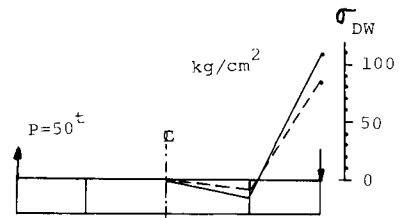


図-6 せり応力度の比較

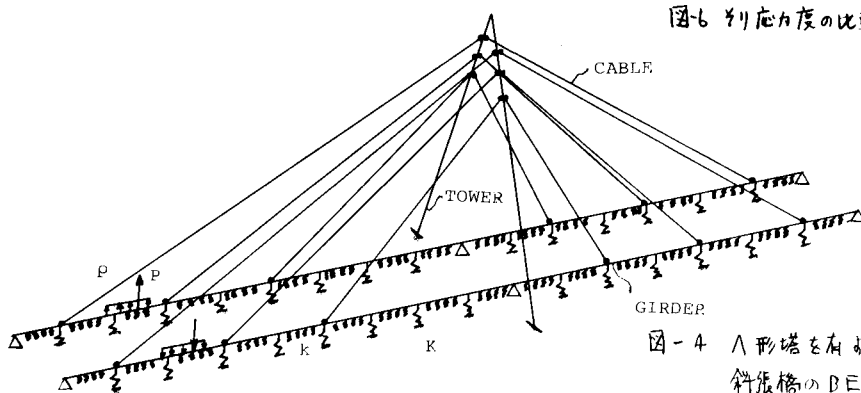


図-4 八形状塔を有する2面ザイル斜張橋のBEFアナロジーモデル